

Министерство образования и науки Российской Федерации  
Федеральное государственное автономное образовательное учреждение высшего  
образования

САНКТ-ПЕТЕРБУРГСКИЙ НАЦИОНАЛЬНЫЙ ИССЛЕДОВАТЕЛЬСКИЙ  
УНИВЕРСИТЕТ ИНФОРМАЦИОННЫХ ТЕХНОЛОГИЙ,  
МЕХАНИКИ И ОПТИКИ

Кафедра систем управления и информатики

Отчет по лабораторной работе №1  
«НАЗВАНИЕ РАБОТЫ»  
по дисциплине «Название дисциплины»

Выполнили: студенты гр. Р4135  
Фамилия И.О.,  
Фамилия И.О.

Преподаватель: Фамилия И.О.,  
должность каф. СУиИ

Санкт-Петербург

2017

# Содержание

Обозначения и сокращения	3
Введение	5
1 Описание манипулятора	6
2 Математическая модель манипулятора	8
2.1 Кинематика манипулятора . . . . .	8
2.1.1 Прямая задача кинематики . . . . .	11
2.1.2 Обратная задача кинематики . . . . .	13
3 Синтез систем управления	15
Заключение	16
Список использованных источников	17
Приложение А Название приложения	18

[illegible]

## Обозначения и сокращения

Используемые далее по тексту общие обозначения:

СК — система координат;

КП — кинематическая пара;

ДХ — Денавита-Хартенберга (Denavit–Hartenberg), например, соглашение;

ИСО — инерциальная система отсчета;

$q_i$  —  $i$ -ая ( $i = \overline{1, n}$ ) обобщенная координата манипулятора (угол, регистрируемый энкодером робота в  $i$ -ом сочленении);

$n$  — количество звеньев робота,  $n = 5$ ;

${}^i R_j$  — матрица поворота, характеризующая поворот СК  $Ox_j y_j z_j$  относительно СК  $Ox_i y_i z_i$ ;

${}^i A_j$  — матрица однородных преобразований, описывающая смещение и поворот СК  $Ox_j y_j z_j$  относительно СК  $Ox_i y_i z_i$ ;

$r_{j,k}^i$  — вектор из начала  $Ox_j y_j z_j$  в начало  $Ox_k y_k z_k$ , выраженный относительно  $Ox_i y_i z_i$ ;

$g_i$  — ускорение свободного падения, выраженное относительно  $Ox_i y_i z_i$ ;

$V_j^i$  — линейная скорость начала  $Ox_j y_j z_j$  относительно используемой в решении ИСО, выраженная относительно  $Ox_i y_i z_i$ ;

$a_j^i$  — линейное ускорение начала  $Ox_j y_j z_j$  относительно ИСО, выраженное относительно  $Ox_i y_i z_i$ ;

$\omega_j^i$  — угловая скорость вращения  $Ox_j y_j z_j$  относительно ИСО, выраженная относительно  $Ox_i y_i z_i$ ;

$\omega_{j,k}^i$  — угловая скорость вращения  $Ox_k y_k z_k$  относительно  $Ox_j y_j z_j$ , выраженная относительно  $Ox_i y_i z_i$ ;

$\dot{\omega}_j^i$  — угловое ускорение  $Ox_j y_j z_j$  относительно ИСО, выраженное относительно  $Ox_i y_i z_i$ ;

Инв. № подл.	Подп. и дата		Инв. № дубл.		Взам. инв. №		Подп. и дата		КСУИ.101.4135.001 ПЗ					Лист	
Изм.		Лист	№ докум.		Подп.		Дата							3	

$z_j^i$  — орт  $[0 \ 0 \ 1]^T$  системы координат  $Ox_jy_jz_j$ , выраженный относительно  $Ox_iy_iz_i$ ;

$f_j^i$  — сила, действующая на  $j$ -ое звено (тело) механизма со стороны  $(j - 1)$ -го звена (тела), выраженная относительно  $Ox_iy_iz_i$ ;

$\tau_j^i$  — момент силы, действующий на  $j$ -ое звено (тело) механизма со стороны  $(j - 1)$ -го звена (тела), выраженный относительно  $Ox_iy_iz_i$ ;

$\tau_i$  — обобщенный момент, ответственный за изменение обобщенной координаты  $q_i$ ;

$m_i$  — масса  $i$ -го звена;

$\mathcal{I}_j^i$  — тензор инерции  $j$ -го звена, выраженный относительно жестко связанной с его центром масс системой координат, сонаправленной с  $Ox_iy_iz_i$ ;

$a_i, d_i$  — обозначения для длин, входящих в число параметров Денавита-Хартенберга,  $i = \overline{1, n}$ ;

$\alpha_i, \theta_i$  — обозначения для углов, входящих в число параметров Денавита-Хартенберга,  $i = \overline{1, n}$ ;

Инв. № подл.	Подп. и дата	Взам. инв. №	Инв. № дубл.	Подп. и дата	<div>КСУИ.101.4135.001 ПЗ</div> <div>Лист 4</div>				
Изм.	Лист	№ докум.	Подп.	Дата	Копировал				
					Формат А4				

## Введение

В данном документе будет рассказано о процессе разработки системы управления для манипулятора робота Kuka Youbot [1], дающей ему возможность для совершения двух действий: занятия позиции, при которой его схват будет принимать заданные положение и ориентацию, а также перемещения схвата по заданной траектории<sup>\*</sup>. В целом содержание пояснительной записки можно описать примерно так:

- в разделе 1 будут приведены технические сведения о роботе, необходимые для решения поставленных задач;
- раздел 2 расскажет о процессе составления математической модели манипулятора, а именно о решении применительно к нему прямой и обратной задач кинематики и о составлении дифференциальных уравнений, описывающих протекающие в роботе электрические и механические процессы;
- в разделе 3 речь пойдет о синтезе соответствующих систем управления, о проверке их работоспособности с помощью моделирования, о результатах апробации на реальном роботе и проч.

<sup>\*</sup> Здесь и далее, когда речь будет идти о траектории движения схвата, под последней будет подразумеваться не просто кривая, описываемая при этом схватом в пространстве, но таковая, явно параметризованная временем.

Инов. № подл.	Подп. и дата	Взам. инв. №	Инов. № дубл.	Подп. и дата
Изм.	Лист	№ докум.	Подп.	Дата
КСУИ.101.4135.001 ПЗ				
				Лист
				5

# 1 Описание манипулятора

Рассматриваемый в данной работе манипулятор робота Kuka Youbot представляет собой пятизвенный манипулятор, снабженный двухпальцевым схватом. Описание его массогабаритных параметров дается таблицей 1.1 и рисунком 1.1. Неуказанные там параметры робота, требуемые для дальнейших расчетов, неизвестны и поэтому подлежат измерению или идентификации, речь о которых пойдет ниже по тексту.

Таблица 1.1 – Общая информация о манипуляторе робота Kuka Youbot.

Параметр	Значение
Количество сочленений	5
Масса	5.3 кг
Допустимая нагрузка	0.5 кг
Точность повторного воспроизведения позиции	1 мм
Максимальная скорость в сочленении	90° с <sup>-1</sup>
Интерфейс	EtherCAT
Напряжение питание	24 В

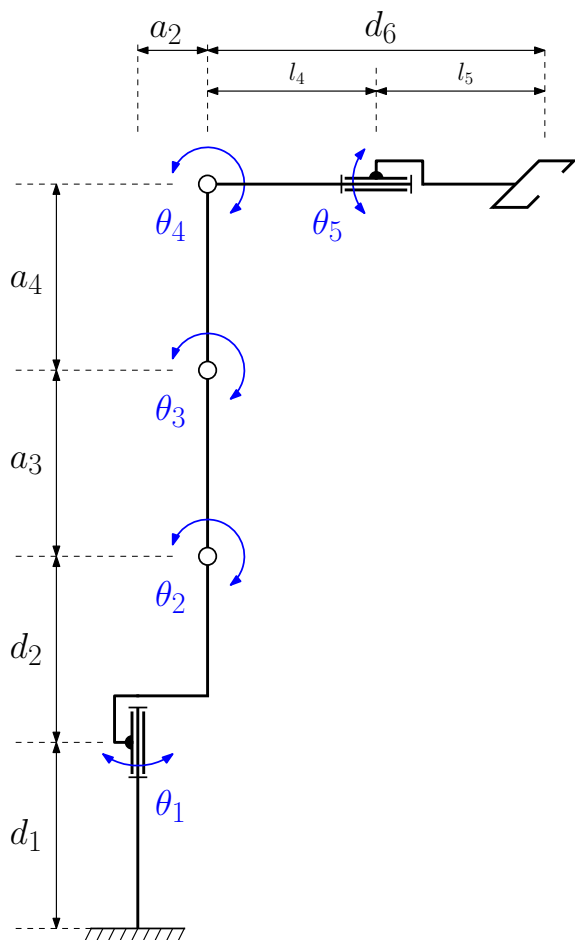
Инов. № подл.	Подп. и дата	Взам. инв. №	Инов. № дубл.	Подп. и дата



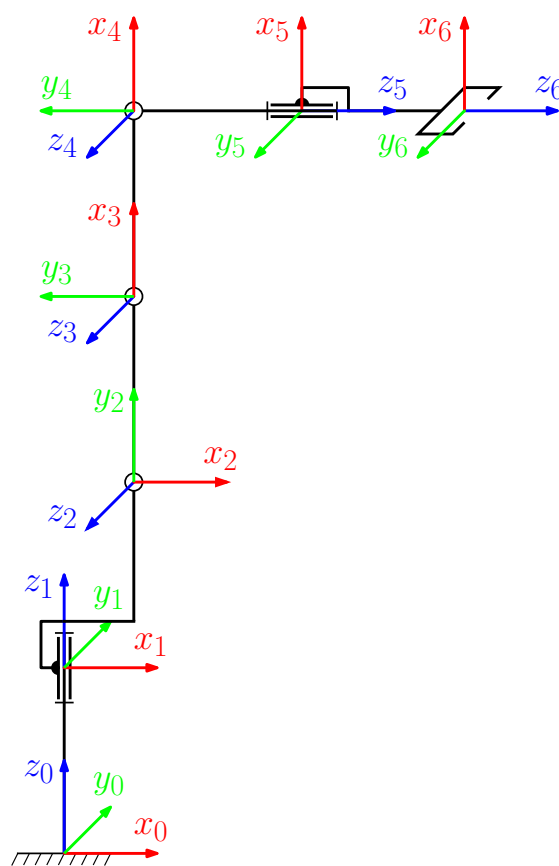
## 2 Математическая модель манипулятора

### 2.1 Кинематика манипулятора

Представим рассматриваемый манипулятор в виде последовательной кинематической цепи, каждое звено которой входит в состав одной или двух кинематических пар (КП). Все КП вращательные, V-класса – цилиндрические шарниры. Принципиальная схема изображена на рисунке 2.1 а.



а) кинематическая схема



б) схема расположения СК КП

Рисунок 2.1 – Схемы

Звенья будем рассматривать как абсолютно твердые тела, определяющие связь между двумя соседними шарнирами. Для описания шарнирных соединений между смежными звеньями воспользуемся методом Денавита и Хартенберга (ДХ-представление), который может быть представлен, как последователь-

Инов. № подл.	Подп. и дата
Взам. инв. №	Инов. № дубл.
Подп. и дата	
Инов. № подл.	

Изм.	Лист	№ докум.	Подп.	Дата



ность из двух описанных ниже шагов\*.

Первым шагом, следует сформировать системы координат для каждой КП, руководствуясь следующими правилами:

- а) ось  $z_{i-1}$  направлена вдоль оси  $i$ -ой КП;
- б) ось  $x_i$  параллельна общему перпендикуляру:  $x_i = z_i \times z_{i-1}$ . Если оси  $z_i$  и  $z_{i-1}$  пересекаются, то  $x_i$  выбирается, как нормаль к образованной ими плоскости;
- в) ось  $y_i$  дополняет оси  $z_i$  и  $x_i$  до правой декартовой системы координат.

Вторым шагом, нужно определить параметры ДХ:

- а)  $a_i$  – расстояние от  $z_{i-1}$  до  $z_i$  вдоль  $x_i$ ;
- б)  $\alpha_i$  – угол от  $z_{i-1}$  до  $z_i$  вокруг  $x_i$ ;
- в)  $d_i$  – расстояние от  $x_{i-1}$  до  $x_i$  вдоль  $z_{i-1}$ ;
- г)  $\theta_i$  – угол от  $x_{i-1}$  до  $x_i$  вокруг  $z_{i-1}$ .

Таким образом, ДХ-представление твердых звеньев зависит от четырех геометрических параметров, соответствующих каждому звену. Эти четыре параметра полностью описывают любое вращательное или поступательное движение.

Для вращательных КП параметры  $d_i$ ,  $a_i$  и  $\alpha_i$  не изменяются и являются их геометрическими размерами. В то время, как  $\theta_i$  переменная величина, изменяющаяся при вращении  $i$ -го звена относительно  $(i - 1)$ -го.

Для каждого звена этот алгоритм формирует ортонормированную систему координат. Системы координат нумеруются в порядке возрастания от основания к схвату манипулятора. Для обследуемого манипулятора, выбранные системы координат изображены на рисунке 2.1 б.

Параметры ДХ указаны в таблице 2.1

\* Представление Денавита-Хартенберга состоит в формировании однородной матрицы преобразования, имеющей размерность  $4 \times 4$  и описывающей положение системы координат каждого звена относительно системы координат предыдущего звена.

Инов. № подл.	Подп. и дата
Взам. инв. №	Инов. № дубл.
Подп. и дата	Подп. и дата

Изм.	Лист	№ докум.	Подп.	Дата	КСУИ.101.4135.001 ПЗ	Лист
						9

Таблица 2.1 – Параметры Денавита-Хартенберга

Звено	$a_i$	$\alpha_i$	$d_i$	$\theta_i$
1	0	0	$d_1$	0
2	$a_2$	$\pi/2$	$d_2$	$\theta_1$
3	$a_3$	0	0	$\theta_2 + \pi/2$
4	$a_4$	0	0	$\theta_3$
5	0	$\pi/2$	0	$\theta_4$
6	0	0	$d_6$	$\theta_5$

Взаимное расположение соседних звеньев описывается однородной матрицей преобразования (2.2) размерностью  $4 \times 4$ , которая формируется в соответствии с формулой (2.1).

$${}^i A_{i+1} = R_{z_i, \theta_i} \cdot T_{z_i, d_i} \cdot T_{x_i, a_i} \cdot R_{x_i, \alpha_i} \quad (2.1)$$

где  $R_{z_i, \theta_i}$  — матрица поворота вокруг оси  $z_i$  на угол  $\theta_i$ ,  $T_{z_i, d_i}$  — матрица трансформации вдоль оси  $z_i$  на расстояние  $d_i$ ,  $T_{x_i, a_i}$  — матрица трансформации вдоль оси  $x_i$  на расстояние  $a_i$ ,  $R_{x_i, \alpha_i}$  — матрица поворота вокруг оси  $x_i$  на угол  $\alpha_i$ .

$${}^i A_{i+1} = \begin{bmatrix} R_{3 \times 3} & p_{3 \times 1} \\ 0_{1 \times 3} & 1 \end{bmatrix} \quad (2.2)$$

где  $R_{3 \times 3}$  — матрица поворота СК<sub>*i*</sub> в СК<sub>*i+1*</sub>,  $p_{3 \times 1}$  — вектор соединяющий СК<sub>*i*</sub> и СК<sub>*i+1*</sub>.

Для описания движения манипулятора, в робототехнике решаются две основные задачи кинематики: прямая и обратная.

Решением прямой задачи, находят положение схвата манипулятора в декартовой системе координат, при заданных обобщенных координатах.

Решение обратной задачи позволяет найти обобщенные координаты при заданном положении и ориентации схвата.

Подп. и дата		Инв. № дубл.		Взам. инв. №		Подп. и дата		Инв. № подл.	
Изм.	Лист	№ докум.	Подп.	Дата	КСУИ.101.4135.001 ПЗ				Лист
									10

### 2.1.1 Прямая задача кинематики

Представим прямую задачу кинематики (ПЗК) манипулятора выражением:

$${}^0A_6 = \prod_{i=1}^6 {}^{i-1}A_i(q_i) = {}^0A_1 \cdot {}^1A_2 \cdot {}^2A_3 \cdot {}^3A_4 \cdot {}^4A_5 \cdot {}^5A_6 \quad (2.3)$$

где  ${}^0A_6$  — матрица  $4 \times 4$ , первые 3 столбца которой представляют ориентацию, последний — положение схвата;  ${}^{i-1}A_i$  — однородная матрица преобразования из  $(i-1)$  в  $i$ -ую СК в общем виде:

$${}^{i-1}A_i = \begin{bmatrix} \cos(\theta_i) & -\sin(\theta_i)\cos(\alpha_i) & \sin(\alpha_i)\sin(\theta_i) & a_i\cos(\theta_i) \\ \sin(\theta_i) & \cos(\alpha_i)\cos(\theta_i) & -\sin(\alpha_i)\cos(\theta_i) & a_i\sin(\theta_i) \\ 0 & \sin(\alpha_i) & \cos(\alpha_i) & d_i \\ 0 & 0 & 0 & 1 \end{bmatrix} \quad (2.4)$$

Теперь, учитывая ДХ-параметры из таблицы 2.1 находим матрицы преобразования СК, рисунок 2.1 б.

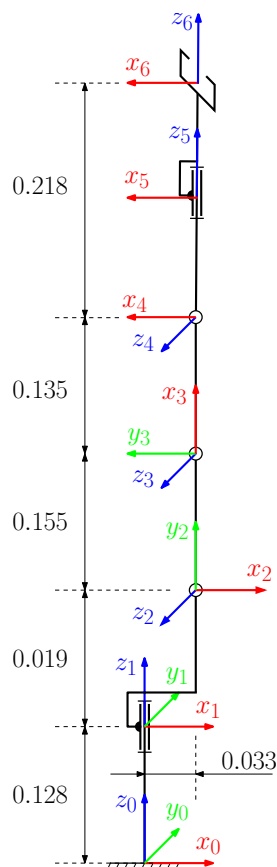
$$\begin{aligned} {}^0A_1 &= \begin{bmatrix} 1 & 0 & 0 & 0 \\ 0 & 1 & 0 & 0 \\ 0 & 0 & 1 & d_1 \\ 0 & 0 & 0 & 1 \end{bmatrix}; {}^1A_2 = \begin{bmatrix} c_{\theta_1} & 0 & s_{\theta_1} & a_2c_{\theta_1} \\ s_{\theta_1} & 0 & -c_{\theta_1} & a_2s_{\theta_1} \\ 0 & 1 & 0 & 0 \\ 0 & 0 & 0 & 1 \end{bmatrix}; {}^2A_3 = \begin{bmatrix} c_{\theta_2} & -s_{\theta_2} & 0 & a_3c_{\theta_2} \\ s_{\theta_2} & c_{\theta_2} & 0 & a_3s_{\theta_2} \\ 0 & 0 & 1 & d_2 \\ 0 & 0 & 0 & 1 \end{bmatrix}; \\ {}^3A_4 &= \begin{bmatrix} c_{\theta_3} & -s_{\theta_3} & 0 & a_4c_{\theta_3} \\ s_{\theta_3} & c_{\theta_3} & 0 & a_4s_{\theta_3} \\ 0 & 0 & 1 & 0 \\ 0 & 0 & 0 & 1 \end{bmatrix}; {}^4A_5 = \begin{bmatrix} c_{\theta_4} & 0 & s_{\theta_4} & 0 \\ s_{\theta_4} & 0 & -c_{\theta_4} & 0 \\ 0 & 1 & 0 & 0 \\ 0 & 0 & 0 & 1 \end{bmatrix}; {}^5A_6 = \begin{bmatrix} c_{\theta_5} & -s_{\theta_5} & 0 & 0 \\ s_{\theta_5} & c_{\theta_5} & 0 & 0 \\ 0 & 0 & 1 & d_6 \\ 0 & 0 & 0 & 1 \end{bmatrix}; \end{aligned}$$

Таким образом, для любого вектора  $q$ , пользуясь выражением (2.3) и ДХ-параметрами манипулятора, можно определить однозначное положение и ориентацию схвата манипулятора в пространстве.

Для проверки, зададим вектор обобщенных координат:

$$q = [\theta_1 \ \theta_2 \ \theta_3 \ \theta_4 \ \theta_5] = [0 \ 0 \ 0 \ 90 \ 0] \quad (2.5)$$

Инв. № подл.	Подп. и дата	Взам. инв. №	Инв. № дубл.	Подп. и дата	${}^0A_1 = \begin{bmatrix} 1 & 0 & 0 & 0 \\ 0 & 1 & 0 & 0 \\ 0 & 0 & 1 & d_1 \\ 0 & 0 & 0 & 1 \end{bmatrix}; {}^1A_2 = \begin{bmatrix} c_{\theta_1} & 0 & s_{\theta_1} & a_2c_{\theta_1} \\ s_{\theta_1} & 0 & -c_{\theta_1} & a_2s_{\theta_1} \\ 0 & 1 & 0 & 0 \\ 0 & 0 & 0 & 1 \end{bmatrix}; {}^2A_3 = \begin{bmatrix} c_{\theta_2} & -s_{\theta_2} & 0 & a_3c_{\theta_2} \\ s_{\theta_2} & c_{\theta_2} & 0 & a_3s_{\theta_2} \\ 0 & 0 & 1 & d_2 \\ 0 & 0 & 0 & 1 \end{bmatrix};$					
					${}^3A_4 = \begin{bmatrix} c_{\theta_3} & -s_{\theta_3} & 0 & a_4c_{\theta_3} \\ s_{\theta_3} & c_{\theta_3} & 0 & a_4s_{\theta_3} \\ 0 & 0 & 1 & 0 \\ 0 & 0 & 0 & 1 \end{bmatrix}; {}^4A_5 = \begin{bmatrix} c_{\theta_4} & 0 & s_{\theta_4} & 0 \\ s_{\theta_4} & 0 & -c_{\theta_4} & 0 \\ 0 & 1 & 0 & 0 \\ 0 & 0 & 0 & 1 \end{bmatrix}; {}^5A_6 = \begin{bmatrix} c_{\theta_5} & -s_{\theta_5} & 0 & 0 \\ s_{\theta_5} & c_{\theta_5} & 0 & 0 \\ 0 & 0 & 1 & d_6 \\ 0 & 0 & 0 & 1 \end{bmatrix}$					
<p>Таким образом, для любого вектора <math>q</math>, пользуясь выражением (2.3) и ДХ-параметрами манипулятора, можно определить однозначное положение и ориентацию схвата манипулятора в пространстве.</p> <p>Для проверки, зададим вектор обобщенных координат:</p> $q = \begin{bmatrix} \theta_1 & \theta_2 & \theta_3 & \theta_4 & \theta_5 \end{bmatrix} = \begin{bmatrix} 0 & 0 & 0 & 90 & 0 \end{bmatrix} \tag{2.5}$										
Инв. № подл.	Подп. и дата	Взам. инв. №	Инв. № дубл.	Подп. и дата	КСУИ.101.4135.001 ПЗ					Лист
										11
					Изм.	Лист	№ докум.	Подп.	Дата	

Рисунок 2.2 – Конфигурация манипулятора для заданного вектора  $q$ 

В результате решения ПЗК должны получить:

$$p = \begin{bmatrix} 0.033 \\ 0 \\ 0.655 \end{bmatrix}, o = \begin{bmatrix} 0 \\ 0 \\ 180 \end{bmatrix},$$

где  $p$  — положение схвата,  $o$  — ориентация схвата (крен, рыскание, тангаж).

Вычислим матрицу  ${}^0A_6$ :

$${}^0A_6 = \begin{bmatrix} -1 & 0 & 0 & 0.033 \\ 0 & -1 & 0 & 0 \\ 0 & 0 & 1 & 0.655 \\ 0 & 0 & 0 & 1 \end{bmatrix} \quad (2.6)$$

Из приведенного примера следует, что ДХ-параметры и матрицы трансформации найдены верно.

Инов. № подл.	Подп. и дата	Взам. инв. №	Инов. № дубл.	Подп. и дата
Изм.	Лист	№ докум.	Подп.	Дата
КСУИ.101.4135.001 ПЗ				
Лист				
12				

### 2.1.2 Обратная задача кинематики

Обратную задачу кинематики представим, как функцию  $g = f^{-1}$ , представляющую переход из рабочего в конфигурационное пространство:

$$\mathbf{q} = g(\mathbf{p}, \mathbf{o}) = f^{-1}(\mathbf{p}, \mathbf{o}) \quad (2.7)$$

где вектор  $\mathbf{p}$  — заданное положение в рабочем пространстве, вектор  $\mathbf{o}$  — заданная ориентация системы координат схвата.

Для удобства будем пользоваться однородными матрицами преобразования. Матрица, задающая положение и ориентацию схвата в системе координат базы, имеет вид:

$${}^0T_6 = \begin{bmatrix} r_{11} & r_{12} & r_{13} & p^x \\ r_{21} & r_{22} & r_{23} & p^y \\ r_{31} & r_{32} & r_{33} & p^z \\ 0 & 0 & 0 & 1 \end{bmatrix} \quad (2.8)$$

Приравняв матрицу  ${}^0T_6$  и правую часть выражения (2.3) и домножив с обеих сторон на  $({}^0A_1 \cdot {}^1A_2)^{-1}$ , получим выражение:

$$({}^0A_1 \cdot {}^1A_2)^{-1} \cdot {}^0T_6 = {}^2A_3 \cdot {}^3A_4 \cdot {}^4A_5 \cdot {}^5A_6 \quad (2.9)$$

где левая часть:

$${}^2T_6 = \begin{bmatrix} r_{11}c_1 + r_{21}s_1 & r_{12}c_1 + r_{22}s_1 & r_{13}c_1 + r_{23}s_1 & -a_2 + p^xc_1 + p^ys_1 \\ r_{31} & r_{32} & r_{33} & -d_1 - d_2 + p^z \\ r_{11}s_1 - r_{21}c_1 & r_{12}s_1 - r_{22}c_1 & r_{13}s_1 - r_{23}c_1 & p^xs_1 - p^yc_1 \\ 0 & 0 & 0 & 1 \end{bmatrix},$$

правая часть:

$${}^2A_6 = \begin{bmatrix} c_5c_{234} & -s_5c_{234} & s_{234} & a_3c_2 + a_4c_{23} + d_6s_{234} \\ s_{234}c_5 & -s_5s_{234} & -c_{234} & a_3s_2 + a_4s_{23} - d_6c_{234} \\ s_5 & c_5 & 0 & 0 \\ 0 & 0 & 0 & 1 \end{bmatrix}.$$

Теперь, приравнявая элементы с одинаковыми индексами получим уравнения, из которых найдем обобщенные координаты.

Инов. № дубл.	Подп. и дата	Взам. инв. №	Подп. и дата	Инов. № подл.	КСУИ.101.4135.001 ПЗ				Лист
									13
Изм.	Лист	№ докум.	Подп.	Дата					



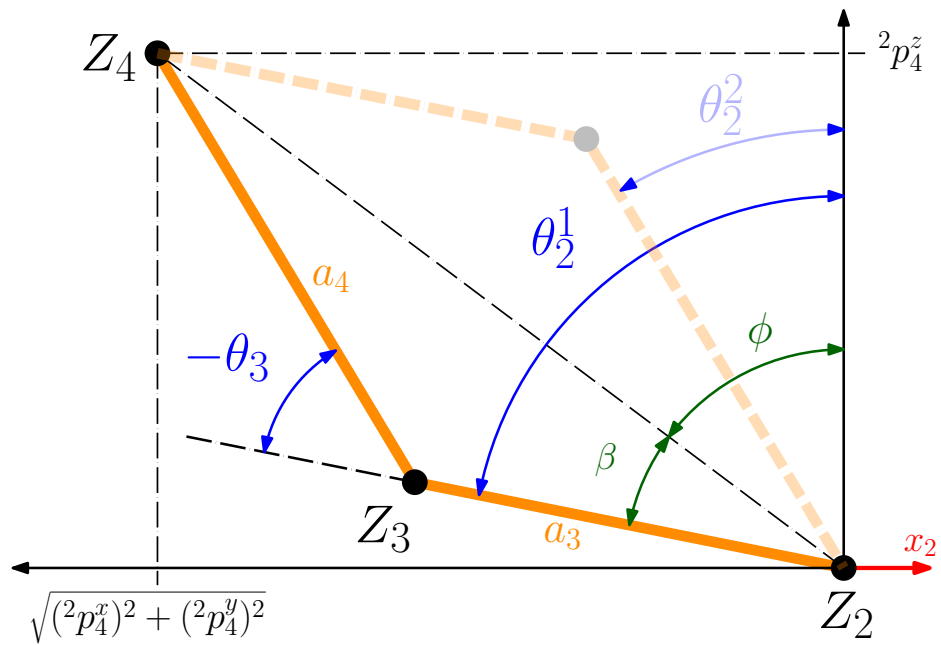


Рисунок 2.3 – Плоская часть манипулятора

### 3 Синтез систем управления

Инв. № подл.	Подп. и дата				Взам. инв. №	Инв. № дубл.	Подп. и дата

Заключение

Текст заключения

Инов. № подл.	Подп. и дата	Взам. инв. №	Инов. № дубл.	Подп. и дата

Изм.	Лист	№ докум.	Подп.	Дата	КСУИ.101.4135.001 ПЗ	Лист
						16



## Список использованных источников

- 1 KUKA YOUTBOT. — URL: <http://www.technomatix.ru/kuka-youbot> (дата обращения: 08.03.2017).
- 2 YouBot Detailed Specifications. — URL: [http://www.youbot-store.com/wiki/index.php/YouBot\\_Detailed\\_Specifications](http://www.youbot-store.com/wiki/index.php/YouBot_Detailed_Specifications) (дата обращения: 04.04.2017).

Инв. № подл.	Подп. и дата	Взам. инв. №	Инв. № дубл.	Подп. и дата	КСУИ.101.4135.001 ПЗ					Лист
										17
Изм.	Лист	№ докум.	Подп.	Дата						

Приложение А  
(обязательное)

Название приложения

Текст приложения

Инов. № подл.	Подп. и дата	Взам. инв. №	Инов. № дубл.	Подп. и дата

Изм.	Лист	№ докум.	Подп.	Дата	КСУИ.101.4135.001 ПЗ	Лист
						18